

## BÖLÜM IV CIE'NİN ÜÇRENKSEL DİZGESİ

CIE'nin (Uluslararası Aydınlatma Komisyonu'nun) üçrenkSEL dizgesi, insanın rengi algılama sürecinin temel özelliğine dayanır ve bununla ilgili sayısal verilerden yola çıkar. Bu nedenle, bu dizgenin açıklanmasında, insan gözünün renk görmesi olayının, bu dizgeye temel olmuş özelliklerinin açıklanmasıyla başlamak gereklidir.

### RENK GÖRME

Gözün yapısı ve çalışması son derece ilginç ve öylesine de derin bir konudur. Bu konuda genel bir özet vermek bile, biçimsel bir giriş yapmanın ötesinde, görmeye ilgili olaylar dizisinin toptan bir görünüşünü vermemi amaçlıyorsa, çok uzun ve saptırıcı olabilir. Bu bakımdan burada yalnızca gözün renk görmesi ile ilgili bazı özellikler, çok basite indirgenmiş olarak ele alınacaktır.

Gözün, ışıksal uyartılara duyarlı olan ve ağtabaka adı verilen dip çeperi, koni ve sopaçık denen işi alıcılarından ve bu alıcıların uyarmalarını beyne iletten sinir iletkenlerinden oluşmuştur. Koniler gündüz görmesi (7) durumunda, sopaçıklar ise gece görmesi (8) durumunda çalışan işi alıcılardır.

Sopaçıkların ışığa duyarlığı, ışığın dalga boyu ile değişmez. Yollandıkları uyarmalar yalnızca gelen ışığın azlığı çokluğu ile orantılıdır. Buna karşılık, konilerin ışığa duyarlığı, gelen ışığın dalga boyu ile değişir. Yani belirli bir koni, gözbebeğinden giren ışık akışı nicelik bakımından değişmese bile, dalga boyu değiştiğinde değişen uyarmalar yollar. Çünkü

(7) Birkaç  $\text{cd}/\text{m}^2$  den büyük ışıklılık düzeylerine uyma durumu.

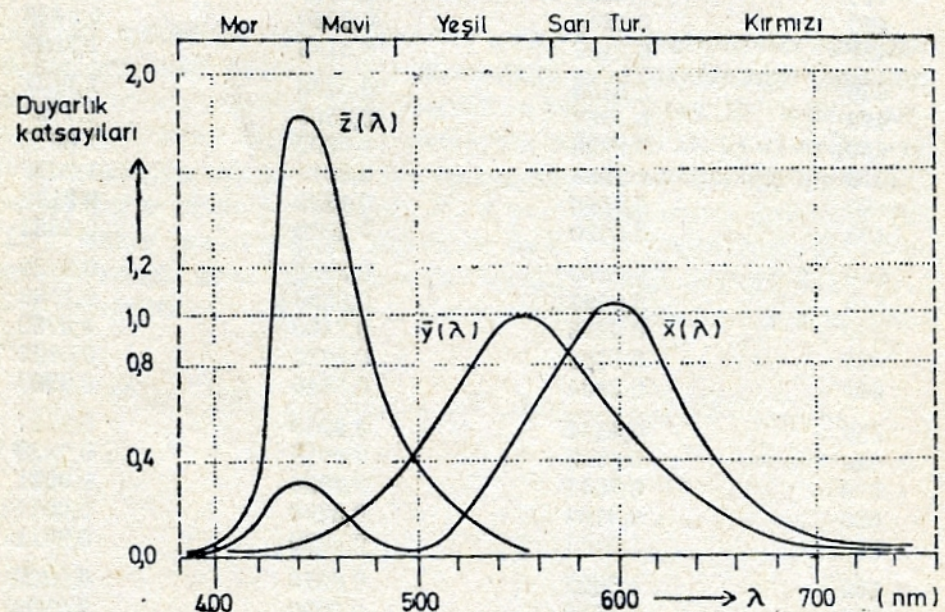
(8) Birkaç  $\text{cd}/\text{m}^2$  nin yüzde birinden daha düşük ışıklılık düzeylerine uyma durumu.

Bu iki durum arasında «akşam görmesi» durumu vardır.

Bu durumda koniler ve sopaçıklar birlikte çalışır.

kii yolladığı uyarmalar duyarlığı ile orantılıdır ve duyarlığı da gelen ışığın dalga boyuna göre değişmektedir.

Koniler, gelen ışığın dalga boyuna göre, duyarlılıklarının değişmesi açısından üç tür koniye x alıcıları, y alıcıları ve z alıcıları denir. Bu üç alıcının, gelen ışığın dalga boyuna göre, etkilenme oranları ölçülmüş ve y alıcısının en çok etkilenme değeri 1 alınarak (9) saptanan değerlere «CIE'nin tayfsal üçrenkSEL bileşenleri» adı verilmiş



ŞEKİL 22

tir (10). Bu katsayılar üzerine çizgi çekilmiş x, y, z harfleriyle gösterilir, ve yanlarına, dalga boyu fonksiyonunda olduklarını belirtmek üzere, ayrıca içinde ( $\lambda$ ) simgesi konur:  $\bar{x}(\lambda)$ ,  $\bar{y}(\lambda)$ ,  $\bar{z}(\lambda)$  gibi. ÇİZELGE I de dalga boyu fonksiyonunda  $\bar{x}(\lambda)$ ,  $y(\lambda)$  ve  $\bar{z}(\lambda)$  değerleri verilmiştir. ŞEKL 22, bu değerler yardımıyla çizilen, üç alıcının duyarlık eğrilerini göstermektedir.

(9) Kılgsal kolaylıklar açısından y alıcısının etkilenme eğrisi, gündüz görmesi durumundaki bağıl ışık etkinliği eğrisi olarak alınmıştır. Yani  $\bar{y}(\lambda) = V(\lambda)$  alınmıştır.

(10) Bu katsayılara 1970 yılına dek «CIE'nin üçrenkSEL dağıtım katsayıları» denmektedir. 1931 den bu yana 40 yıl kullanılmış olan bu deyim bugün de pek çok yayında geçtiğinden, akılda tutulmalıdır.

## CIE'nin TAYFSAL ÜÇRENKSEL BİLEŞENLERİ (1931)

(üçrenkSEL DAĞITIM KATSAYILARI)

| Dalga boyu<br>nm | ÜçrenkSEL BİLEŞENLER |                                 |                    |
|------------------|----------------------|---------------------------------|--------------------|
|                  | $\bar{x}(\lambda)$   | $\bar{y}(\lambda) (=V_\lambda)$ | $\bar{z}(\lambda)$ |
| 380              | 0,0014               | 0,0000                          | 0,0065             |
| 390              | 0,0042               | 0,0001                          | 0,0201             |
| 400              | 0,0143               | 0,0004                          | 0,0679             |
| 410              | 0,0435               | 0,0012                          | 0,2074             |
| 420              | 0,1344               | 0,0040                          | 0,6456             |
| 430              | 0,2839               | 0,0116                          | 1,3856             |
| 440              | 0,3483               | 0,0230                          | 1,7471             |
| 450              | 0,3362               | 0,0380                          | 1,7721             |
| 460              | 0,2908               | 0,0600                          | 1,6692             |
| 470              | 0,1954               | 0,0910                          | 1,2876             |
| 480              | 0,0956               | 0,1390                          | 0,8130             |
| 490              | 0,0320               | 0,2080                          | 0,4652             |
| 500              | 0,0049               | 0,3230                          | 0,2720             |
| 510              | 0,0093               | 0,5030                          | 0,1582             |
| 520              | 0,0633               | 0,7100                          | 0,0782             |
| 530              | 0,1655               | 0,8620                          | 0,0422             |
| 540              | 0,2904               | 0,9540                          | 0,0203             |
| 550              | 0,4334               | 0,9950                          | 0,0087             |
| 560              | 0,5945               | 0,9950                          | 0,0039             |
| 570              | 0,7621               | 0,9520                          | 0,0021             |
| 580              | 0,9163               | 0,8700                          | 0,0017             |
| 590              | 1,0263               | 0,7570                          | 0,0011             |
| 600              | 1,0622               | 0,6310                          | 0,0008             |
| 610              | 1,0026               | 0,5030                          | 0,0003             |
| 620              | 0,8544               | 0,3810                          | 0,0002             |
| 630              | 0,6424               | 0,2650                          | 0,0000             |
| 640              | 0,4479               | 0,1750                          | 0,0000             |
| 650              | 0,2835               | 0,1070                          | 0,0000             |
| 660              | 0,1649               | 0,0610                          | 0,0000             |
| 670              | 0,0874               | 0,0320                          | 0,0000             |
| 680              | 0,0468               | 0,0170                          | 0,0000             |
| 690              | 0,0227               | 0,0082                          | 0,0000             |
| 700              | 0,0114               | 0,0041                          | 0,0000             |
| 710              | 0,0058               | 0,0021                          | 2,0000             |
| 720              | 0,0029               | 0,00105                         | 0,0000             |
| 730              | 0,0014               | 0,00052                         | 0,0000             |
| 740              | 0,0007               | 0,00025                         | 0,0000             |
| 750              | 0,0003               | 0,00012                         | 0,0000             |
| 760              | 0,0002               | 0,00006                         | 0,0000             |

(P. J. Bouma'dan)

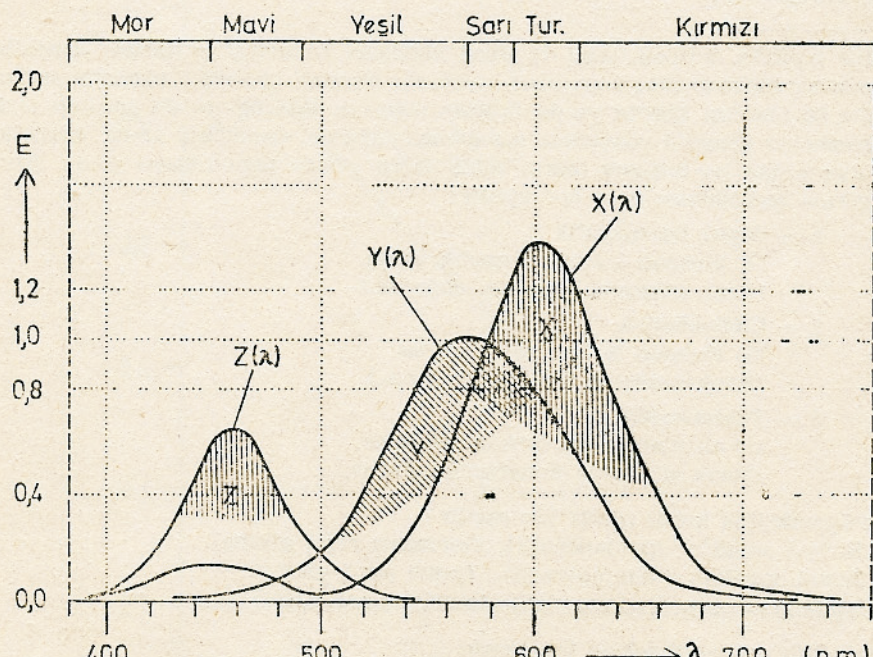
10,68

10,68

10,68

Tayf eğrisi verilmiş bir ışığın, belirli bir dalga boyu için erkesi, üç ayrı alıcının söz konusu dalga boyundaki katsayılarıyla çarpılırsa, o dalga boyundaki erkeden her üç alıcının ne oranlarda etkilendiği, yani, o dalga boyundaki erkeden etkilenmenin, üç alıcı arasında nasıl bölüşüldüğü (nasıl dağıldığı) bulunmuş olur. Bu işlem, tayf eğrisi verilmiş ışığın, bütün dalga boyalarına raslayan erkeleri için yapılrsa, söz konusu ışık'tan etkilenmenin üç alıcı arasında nasıl bölüşüldüğünü, nasıl dağıldığını gösteren eğriler elde edilir.

Yukarda açıklandığı gibi, belirli bir ışığın tayf değerleriyle, üçrenkSEL BİLEŞENLERİN (eski deyişiyle üçrenkSEL DAĞITIM KATSAYILARININ) çarpımından elde edilen değerler, üstü çizgisiz ve büyük  $X(\lambda)$ ,  $Y(\lambda)$ ,  $Z(\lambda)$  simgeleriyle gösterilir. Bu değerler yardımıyla çizilen  $X(\lambda)$ ,  $Y(\lambda)$  ve  $Z(\lambda)$  eğrilerinin altında kalan alanlar ise, üç alıcının, söz konusu ışiktan etkilenme oranlarını gösterir ve büyük  $X$ ,  $Y$  ve  $Z$  simgeleriyle gösterilir. ŞEKL 23 akkor lamba ışığının tayf eğrisi ile  $\bar{x}$ ,  $\bar{y}$  ve  $\bar{z}$  eğrilerinin çarpımından elde edilen, akkor lamba ışığına (bu ışığın rengine) özgü  $X(\lambda)$ ,  $Y(\lambda)$  ve  $Z(\lambda)$  eğrilerini ve  $X$ ,  $Y$  ve  $Z$  alanlarını (=değerlerini) göstermektedir.



ŞEKİL 23

X, Y ve Z değerleri bu üç alıcının beyne yolladıkları uyarmaların nicelıklarını belirler. Bu uyarma nicelıklar arasındaki oran ise, toplam uyarmanın renksel niteliğini belirler. Yani rengi belirleyen öğe X, Y ve Z arasındaki orandır. Beynin ilgili merkezi, bu üç büyülüüğün bileşimi yaparken, bileşenlerin oranını renk duyulanması biçiminde değerlendirdir. Bileşenlerin ya da bunların bileşiminin mutlak değerleri rengi değil, ışıklılığı belirler.

X, Y ve Z değerlerinin toplamı, görsel duyulanmanın toplamına eşittir. Bu toplam içinde

- x oranının büyülüüğü kırmızı
- y oranının büyülüüğü yeşil
- z oranının büyülüüğü mavi

renk duyulanmasını ve bunların çeşitli oranlarda karışımıları, görülebilin bütün renk duyulanmalarını doğurur. Bu nedenle

- x alıcısına kırmızı alıcı
- y alıcısına yeşil alıcı
- z alıcısına mavi alıcı

adı da verilir. (11)

(11) Bir insanda, kırmızı, yeşil ve mavi alıcıların kusursuz ve dengeli denebilecek bir biçimde çalışması, renk görmenin düzgülü (normal) olmasını sağlar. Bu üç alıcıdan birinin ya da ikisinin duyarlık eksikliği ya da yokluğu renk görmenin düzgülü olmaması sonucunu, doğurur. Genellikle «renk körlüğü» diye anılan bu duruma teknik dilde «renk görme sapaklıkları» denir. Renk görme sapaklıkları önce üçe ayrılır :

- 1 — **Sapak üçrenkçillik**  
Üç alıcıdan birinde duyarlık azlığı.  
(Renk görmede bozukluk doğurur.)
- 2 — **Ciftrenkçillik**  
Üç alıcıdan birinin çalışmaması.  
(Renk görmede eksiklik doğurur.)
- 3 — **Tekrenkçillik**  
Üç alıcıdan yalnız birinin çalışması.  
(Renk görmeme sonucunu doğurur.)

Sapak üçrenkçillik kendi içinde üçe ayrılır :

- Birinci sapaklık (protanomali), (kırmızıyı zayıf görme)
- İkinci sapaklık (döteranomali), (yeşili zayıf görme)
- Üçüncü sapaklık (tritanomali), (maviyi zayıf görme)

Ciftrenkçillik de kendi içinde üçe ayrılır :

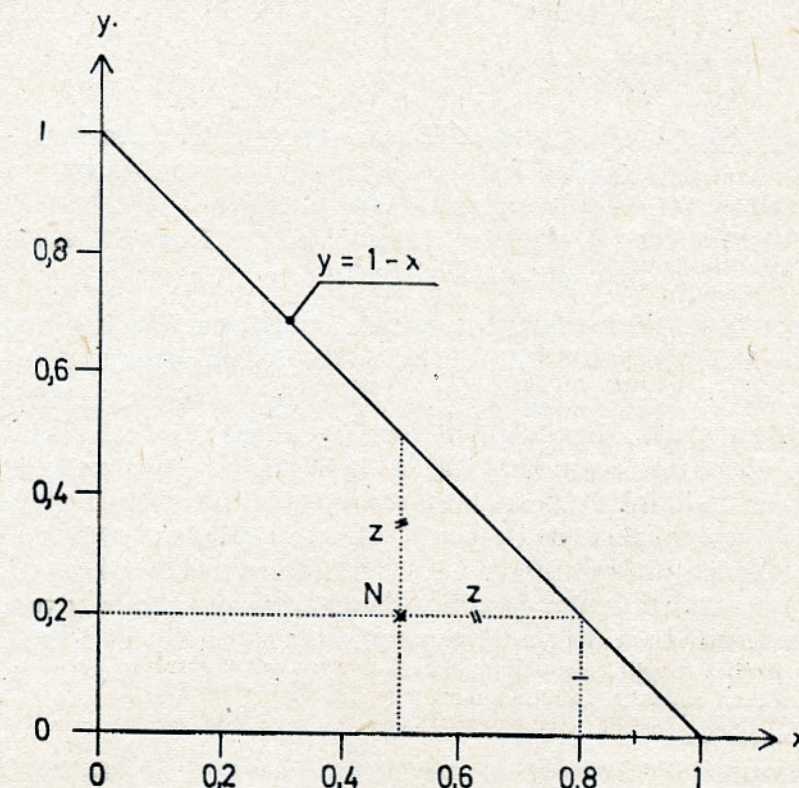
- Birinci görmezlik (protanopi), (kırmızı görmezlik)
- İkinci görmezlik (döteranopi), (yeşil görmezlik)
- Üçüncü görmezlik (tritanopi), (mavi görmezlik)

Bir önceki bölümde sözü geçen «gözün renksel uyması» bu üç alıcıdan bir ya da ikisinin bağıl duyarlıklarını azaltmasından başka bir şey değildir.

X, Y, Z arasındaki oranlar değişik biçimlerde düşünülebilir. CIE ce benimsenen biçim, bir alıcının duyulanmasının, üç alıcının toplam duyulanmasına oranıdır. Bu oranlar küçük x, y ve z harfleri ile gösterilir;

$$x = \frac{X}{X + Y + Z}, \quad y = \frac{Y}{X + Y + Z}, \quad z = \frac{Z}{X + Y + Z}$$

Bu anlatım biçimine göre, örneğin x, göze gelen belirli bir ışık (renk) için, kırmızı alıcının duyulanmasının, o ışık için tüm duyulanmaya (yani kırmızı + yeşil + mavi alıcıların tüm duyulanmalarına) oranını gösterir. Bu oran, sıfır ile ( $X = 0$  durumu), bir ( $Y = Z = 0$  durumu) arasında değerler alır ;  $0 \leq x \leq 1, 0 \leq y \leq 1, 0 \leq z \leq 1$ .



ŞEKİL 24

Söz konusu üç oranın toplamı her zaman 1 e eşittir :

$$x + y + z = \frac{X}{X+Y+Z} + \frac{Y}{X+Y+Z} + \frac{Z}{X+Y+Z} = \frac{X+Y+Z}{X+Y+Z} = 1$$

Bu ise , bu üç değerden ikisinin bilinmesinin her zaman yeterli olabileceği anlamına gelir.

**ŞEKİL 24** te x değerleri yatay eksende, y değerleri düşey eksende gösterilmiştir.  $x + y + z = 1$  denkleminden  $z = 0$  için  $y = 1 - x$  denklemi çıkarılır.  $y = 1 - x$  doğrusu **ŞEKİL 24** te gösterilmiştir.  $x + y + z = 1$  denkleminin  $z=0$  noktaları  $y=1-x$  doğrusu üzerinde,  $y=0$  noktaları x ekseni üzerinde,  $x = 0$  noktaları da y ekseni üzerindedir.  $x + y + z = 1$  denklemi bu üç doğrunun sınırladığı üçgen alanı gösterir. Bu alanının herhangi bir noktası için  $x + y + z = 1$  dir. Örneğin N noktası için  $x = 0,5$ ,  $y = 0,2$ ,  $z = 0,3$  tür. (12)

### CIE'NİN RENK ÜÇGENİ

Yukarıda tanımlanan üçgene «CIE'nin renk üçgeni» adı verilir. Bu üçgenin bütün noktaları gözle görülen bir rengi göstermez. Çünkü, x, y ve z değişkenleri büsbütün bağımsız değildirler. Örneğin, X ve Y hiç bir ışık (renk) için sıfır eşit olmazlar. (bkz. ÇİZELGE I ve ŞEKİL 22). Bundan ötürü, x ve y de sıfır eşit olmazlar.

Bütün tekrenkli ışınımları aynı erkede bulunduran bir beyaz ışık için  $x = y = z$  dir. Bu sonuç, ÇİZELGE I in sonundaki toplamdan da çıkarılır. Demek ki,  $x = 0,33$  (13) ve  $y = 0,33$  noktası kuramsal beyaz noktasını göstermektedir. Bu nokta CIE renk üçgeninde büyük E harfi ile gösterilir. (Bazı eski kayınlarda büyük W harfi ile de gösterilmiştir). Bu noktadan uzaklaşılıkça renklerin doymuşluğu artar. En doymuş renkler olan tayfsal renkler (tekrenkli ışınların renkleri) CIE üçgeninde renk noktalarının (renkli alanının) sınırlarını gösterir. ÇİZELGE II de tekrenkli ışıkların (yalın ışıkların) dalga boylarına göre x, y ve z değerleri verilmiştir. Bu değerlerden yararlanarak çizilen eğri **ŞEKİL 25** te yaklaşık olarak görülmektedir. (Daha dikkatli çizilmiş bir CIE renk üçgeni kitabın sonuna eklenmiştir.)

(12) Üçgen içindeki herhangi bir nokta için  $x + y + z = 1$  olacağı, **ŞEKİL 24** te görülen dik dörtgen ve dik açılı ikizkenar üçgenlerin kenarlarının toplamı ile gösterilir.

(13)  $\overline{33}$  yan yana sonsuz 3 ü anlatır : 3333333...

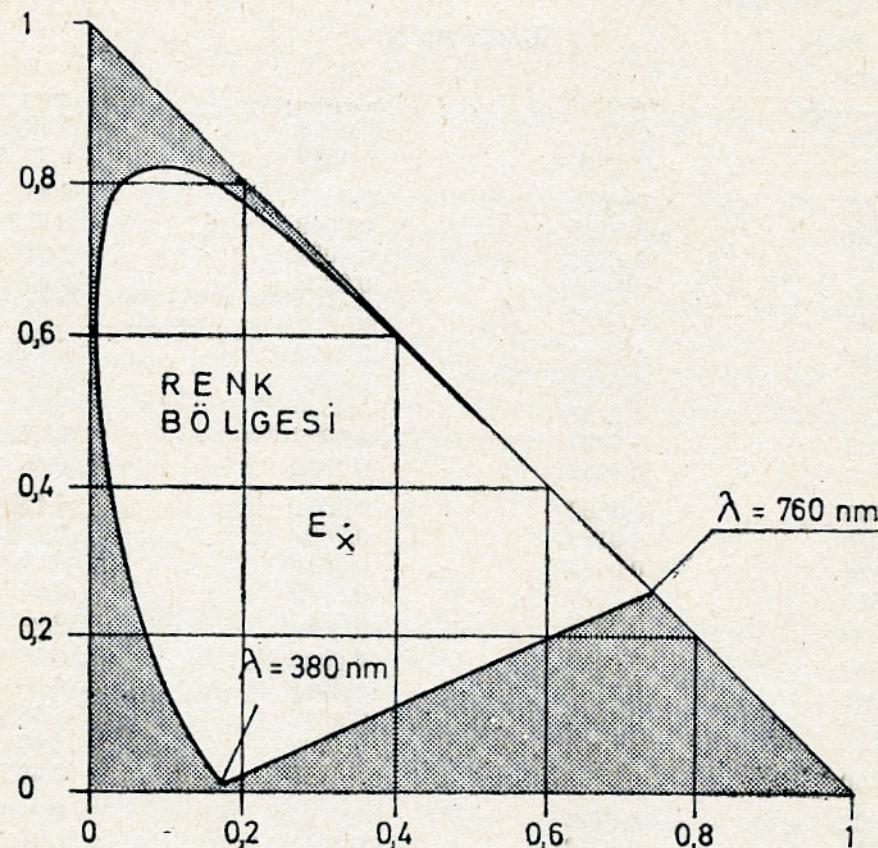
### ÇİZELGE II

#### CIE RENK ÜÇGENİNDE TEKRENKLİ İŞIKLARIN KOORDİNALTLARI (1931)

(x, y, z Değerleri)

| Dalga boyu<br>nm | Koordinatlar |        |        |
|------------------|--------------|--------|--------|
|                  | x            | y      | z      |
| 380              | 0,1741       | 0,0050 | 0,8209 |
| 390              | 0,1738       | 0,0049 | 0,8213 |
| 400              | 0,1733       | 0,0048 | 0,8219 |
| 410              | 0,1726       | 0,0048 | 0,8226 |
| 420              | 0,1714       | 0,0051 | 0,8235 |
| 430              | 0,1689       | 0,0069 | 0,8242 |
| 440              | 0,1644       | 0,0109 | 0,8247 |
| 450              | 0,1566       | 0,0177 | 0,8257 |
| 460              | 0,1440       | 0,0297 | 0,8263 |
| 470              | 0,1241       | 0,0578 | 0,8181 |
| 480              | 0,0913       | 0,1327 | 0,7760 |
| 490              | 0,0454       | 0,2950 | 0,6596 |
| 500              | 0,0082       | 0,5384 | 0,4534 |
| 510              | 0,0139       | 0,7502 | 0,2359 |
| 520              | 0,0743       | 0,8338 | 0,0919 |
| 530              | 0,1547       | 0,8059 | 0,0394 |
| 540              | 0,2296       | 0,7543 | 0,0161 |
| 550              | 0,3016       | 0,6923 | 0,0061 |
| 560              | 0,3731       | 0,6245 | 0,0024 |
| 570              | 0,4441       | 0,5547 | 0,0012 |
| 580              | 0,5125       | 0,4866 | 0,0009 |
| 590              | 0,5752       | 0,4242 | 0,0006 |
| 600              | 0,6270       | 0,3725 | 0,0005 |
| 610              | 0,6658       | 0,3340 | 0,0002 |
| 620              | 0,6915       | 0,3083 | 0,0002 |
| 630              | 0,7079       | 0,2920 | 0,0001 |
| 640              | 0,7190       | 0,2810 | 0,0001 |
| 650              | 0,7260       | 0,2740 | 0,0000 |
| 660              | 0,7300       | 0,2700 | 0,0000 |
| 670              | 0,7320       | 0,2680 | 0,0000 |
| 680              | 0,7334       | 0,2666 | 0,0000 |
| 690              | 0,7344       | 0,2656 | 0,0000 |
| 700              | 0,7347       | 0,2653 | 0,0000 |
| 710              | 0,7347       | 0,2653 | 0,0000 |
| 720              | 0,7347       | 0,2653 | 0,0000 |
| 730              | 0,7347       | 0,2653 | 0,0000 |
| 740              | 0,7347       | 0,2653 | 0,0000 |
| 750              | 0,7347       | 0,2653 | 0,0000 |
| 760              | 0,7347       | 0,2653 | 0,0000 |

$$x = \frac{X}{X+Y+Z} \quad y = \frac{Y}{X+Y+Z} \quad z = \frac{Z}{X+Y+Z}$$



ŞEKİL 25

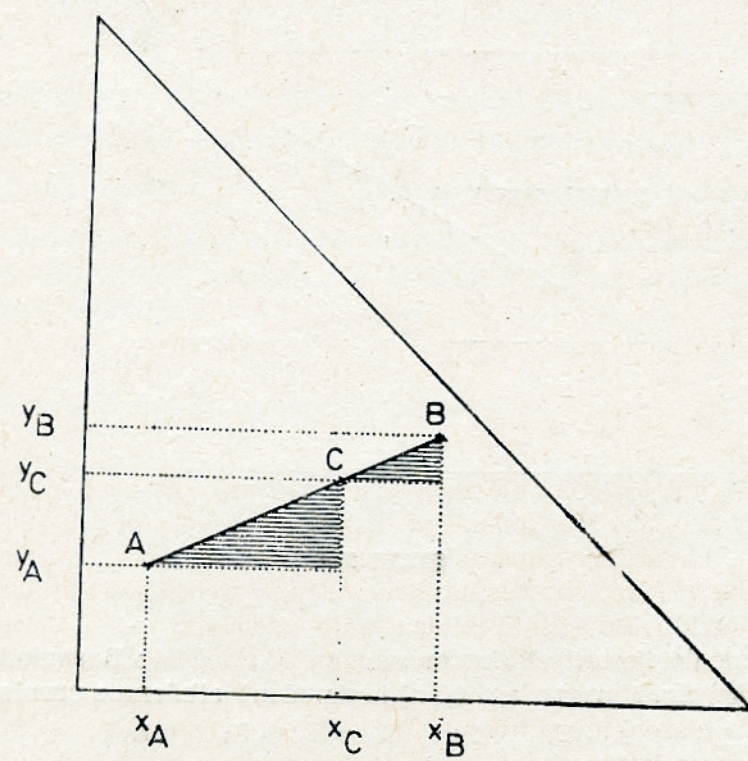
Eğri  $x = 0,1741$   $y = 0,0050$  noktasından ( $\lambda = 380$  nm) başlayıp yukarı doğru çıkan,  $y = 0,8338$  tepe noktasından geçen,  $x = 0,7190$   $y = 0,2810$  noktasında  $y = 1 - x$  doğrusuna degen ve bu doğru boyunca  $x = 0,7347$   $y = 0,2653$  ( $\lambda = 760$  nm) noktasına dek gelen ve genellikle at nalına benzeten bir eğridir. Bu eğrinin iki ucu yani  $\lambda = 380$  nm ve  $\lambda = 760$  nm noktaları, bir doğru ile birbirlerine birleştirilir. Bu doğruya purpuralar (mor ile kırmızı arasındaki renkler) doğrusu denir. Bu doğru üzerinde,  $\lambda = 380$  nm tekrenkli ışığı ile  $\lambda = 760$  nm tekrenkli ışığının değişik oranlardaki karışıntılarından doğan (ve de beyaz ışık tayfında bulunmayan) renkler bulunur.

Bu şekilde kapanan eğrinin içinde insan gözünün gördüğü bütün renklerin noktaları vardır. Aynı şekilde, bu eğri içindeki her nokta  $x + y + z = 1$  denklemini doğruladığı için, insan gözünün belirli bir renk algılamasının karşılığıdır. Yani, görülen bir rengi gösterir.

## **İKİ RENGİN KARİSİMİ**

CIE renk üçgeninde A ve B gibi iki noktayla gösterilen iki rengin belirli bir oranda karışımından (toplamsal bileşiminden) hangi rengin elde edileceği kesinlikle bulunabilir.

A ve B renklerinin belirli bir oranda karışımından elde edilmiş olan C renginin noktası A ve B noktalarını birleştiren doğru üzerinde bulunmaktadır. (SEKİL 26) Çünkü,  $y_C$ ,  $y_A$   $y_B$  doğru parçasını hangi oranda

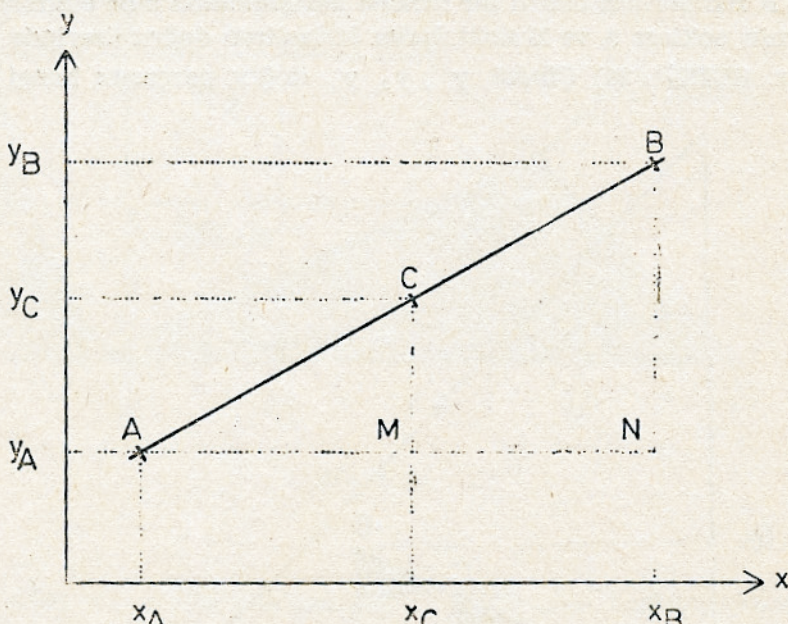


ŞEKİL 26

bölüyorsa ( $A$  ve  $B$  renklerinin  $X$ ,  $Y$ ,  $Z$  uyartılarının aritmetik toplamı söz konusu olduğuna göre),  $x_c$  de  $x_A x_B$  doğru parçasını aynı oranda bölecek ve bu iki değerin,  $x_c$  ve  $y_c$  nin gösterdiği nokta, oran eşitliği nedeniyle,  $\overline{AB}$  doğru parçası üzerinde olacaktır. Yine yukarıdaki şekilde düşünerek,  $C$  noktasının  $\overline{AB}$  doğru parçası üzerindeki yerinin, karışım oranıyla bulunacağı çıkarılır.

$$AC/CB = \text{Karışımındaki } B \text{ oranı}/\text{Karışımındaki } A \text{ oranı}$$

Yani karışımında, örneğin  $A$  rengi ne oranda fazlaysa,  $C$  noktası  $A$  noktasına o oranda yakındır. Bu, aşağıdaki biçimde, daha matematiksel bir anlatımla da ispatlanır:



ŞEKİL 27

$A$  renginden, üç alıcının etkilenme oranları  $X_A, Y_A, Z_A$ ;  $B$  renginden ise  $X_B, Y_B, Z_B$  dir. Karışımından (yani toplamdan) etkilenme oranları ise  $X_C = X_A + X_B$      $Y_C = Y_A + Y_B$      $Z_C = Z_A + Z_B$  dir.

$$x_A = \frac{X_A}{X_A + Y_A + Z_A}$$

$$y_A = \frac{Y_A}{X_A + Y_A + Z_A}$$

$$x_B = \frac{X_B}{X_B + Y_B + Z_B} \quad y_B = \frac{Y_B}{X_B + Y_B + Z_B}$$

$$x_C = \frac{X_C}{X_C + Y_C + Z_C} \quad y_C = \frac{Y_C}{X_C + Y_C + Z_C}$$

olduğuna göre :

$$x_C + \frac{X_A + X_B}{X_A + X_B + Y_A + Y_B + Z_A + Z_B} \quad y_C = \frac{Y_A + Y_B}{X_A + X_B + Y_A + Y_B + Z_A + Z_B}$$

Eşitliklerinden, tanımlar dikkate alınarak :

$$\frac{x_C - x_A}{y_C - y_A} = \frac{x_B - x_A}{y_B - y_A}$$

$$\text{ve } \frac{y_B - y_C}{y_C - y_A} = \left( \frac{Y_A}{y_A} \right) : \left( \frac{Y_B}{y_B} \right) \text{ çıkarılır. (14)}$$

Bundan da, ŞEKİL 27 deki ACM ve ABN üçgenlerinin benzerliği yani  $C$  noktasının  $\overline{AB}$  doğrusu üzerinde bulunması gereği ve  $C$  noktasının  $\overline{AB}$  doğrusunu  $\left( \frac{Y_A}{y_A} \right) : \left( \frac{Y_B}{y_B} \right)$  oranında böldüğü çıkarılır.  $Y_A$  ve  $Y_B$  değerleri  $A$  ve  $B$  ışıklarının nicelikleriyle orantılı olduklarından bunların karışımında  $A$  ne oranda fazlaysa  $C$  noktası  $A$  noktasına o oranda yakın olacaktır.

Böylece varılan iki sonuç, yani, kısaca

- 1 — İKİ RENGİN KARIŞIMINI (TOPLAMINI) GÖSTEREN NOKTA BU İKİ RENGİ GÖSTEREN NOKTALARI BİRLEŞTİREN DOĞRU PARÇASI ÜZERİNDEDİR.
- 2 — KARIŞIM (TOPLAM) NOKTASI, KARIŞITIRILAN (TOPLANAN) İKİ RENGİN NOKTALARINI BİRLEŞTİREN DOĞRU PARÇASINI KARIŞIM ORANINDA BÖLER.

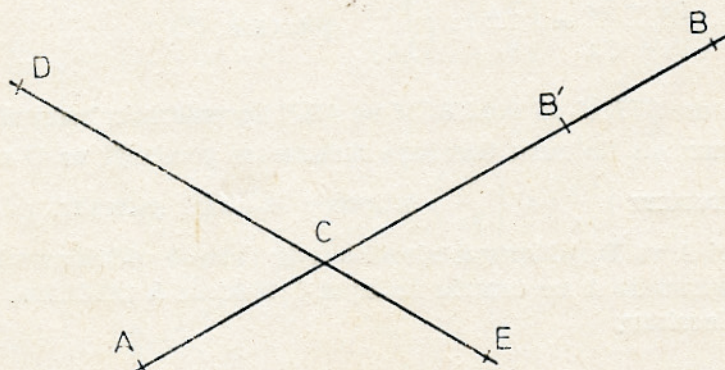
şeklinde söylemeyecek iki kural, son derece önemlidir. Bu kurallardan ikincisi özellikle kılgışal alanda, birincisi ise hem kılgışal hem kuram-

(14) Bu ispatlama biçimini W. Elenbaas — A. A. Kruithof'tan alınmıştır.

sal alanda büyük oranda belirleyici niteliktedirler. Bu bakımdan, birinci kuralın ne anlamına geldiği ve bundan ne sonuçlar çıkarılabileceği aşağıda kısaca açıklanacaktır.

İki rengin toplanmasından elde edilen rengin noktası karıştırılan iki rengin noktalarını birleştiren doğru parçası üzerinde olduğuna göre, verilmiş bir renk duyulanması yani görülen belirli bir renk, sonsuz şekilde elde edilebilir. Çünkü, bir noktadan sonsuz doğru geçer.

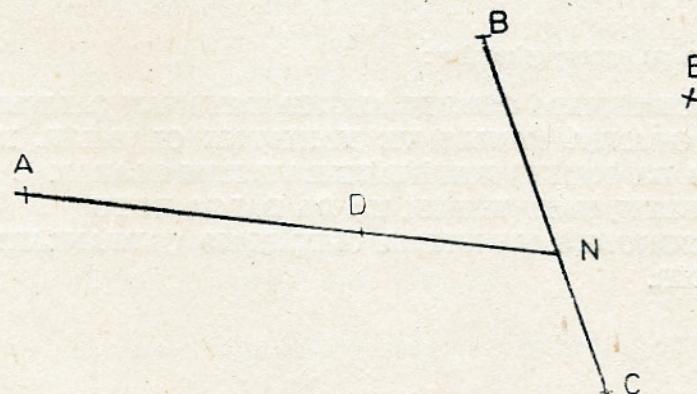
Örneğin ŞEKİL 28 de C noktası ile gösterilen renk  $\overline{AB}$  doğrusu üzerindeki renklerin belirli oranlarıyla elde edilebileceği gibi  $\overline{DE}$  doğrusu üzerindeki renklerin belirli oranlarıyla da elde edilebilir. A ve B noktalarındaki renklerin belirli bir oranda karışımıyla elde edilen C rengi A ve B' noktasındaki renklerin başka bir oranda karıştırılması ile de elde edilir.



ŞEKİL 28

İki rengin karışımı ile elde edilen bir renk, bir üçüncü renkle karıştırılarak başka bir renk elde edilir. Örneğin ŞEKİL 29 daki A, B ve C renklerinin karışımından D rengi elde edilmek isteniyorsa, önce bu noktaların iksinden, örneğin B ve C noktalarından bir doğru geçirilir. Sonra A ve D noktaları bir doğruyla birleştirilerek bu doğru BC doğrusuna deðin uzatılır. Her iki doğrunun kesiþme noktası olan N noktasının B ve C noktalarına uzaklıðı, N noktasındaki rengin elde edilmesi için B ve C renklerinin ne oranda karıştırılacağını ve D noktasının A ve N noktalarına uzaklıðı da D renginin elde edilmesi için A rengi ile N karışım renginin ne oranda karıştırılacağını gösterir.

Verilmiş iki, üç, ya da daha çok sayıda renkten, karışım yolu ile istenen rengin elde edilip edilemeyeceği ya da örneğin en kolay (belirli şartlara en uygun) nasıl elde edilebileceği bu yöntemle kolayca anlaşılır. Örneğin, ŞEKİL 29 daki A, B, C renkleri ile E rengini elde etme olanağı yoktur.



ŞEKİL 29

Söz konusu bütün renk noktaları x ve y değerleriyle bilindiðinden, bütün bu işlemler grafik yöntemle olduğu gibi, matematik olarak ta büyük bir kesinlikle yapılır.

Örneðin, bütün flüoriþil maddelerin yayinallykları ışıkların renk noktaları bilinmekteðir. (Kitabın sonuna eklenmiş CIE üçgeninde bunlardan üçü gösterilmiştir.) Bu maddelerin işîma güçlerine göre ve elde edilmek istenilen flüoriþil lamba ışığının rengine göre karışım oranları hesaplanır.

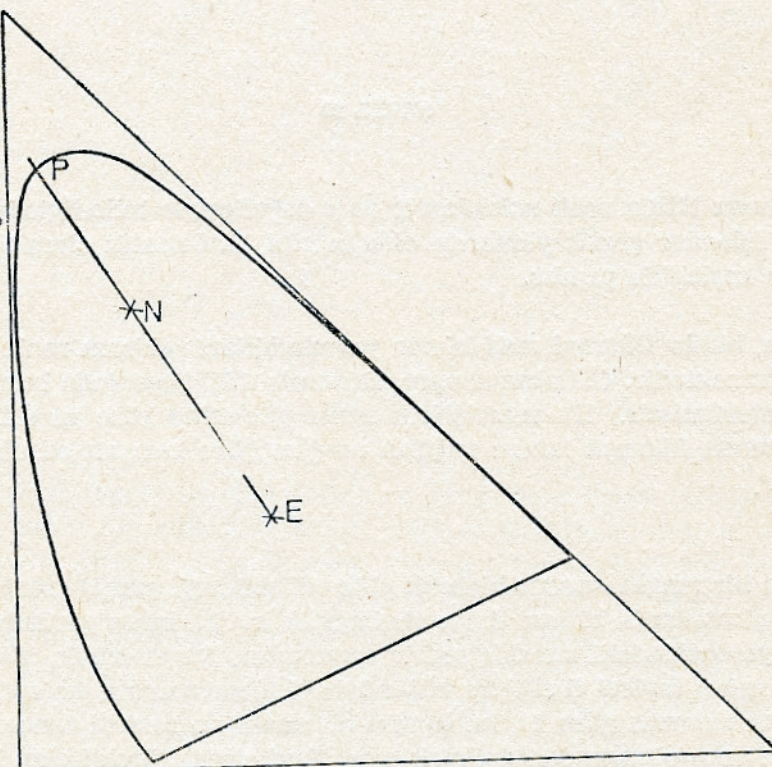
Görulen bir rengin, sonsuz biçimde elde edilebileceği gerçeði renkle ilgili bütün konularda birinci derecede önemlidir. Bu, insan gözüñün renk görme yeteneðindeki sınırlılıðın bir sonucudur. Bu sınırlılık, insan gözüñün, ışığın tayfsal özelliðini bütünüyle algılayamaması, üç ayrı alıcıñın duyarlıklarına göre, tayfın *toptan* bir analiz ve sentezi sonucu renk algılamasının olmasından doğmaktadır. Tayf eğrisi sürekli olan bir ışığın, üç alıcıda doğurduğu etkilenme oranları yani X, Y ve Z, ve dolayısıyla, beyne yollandıkları uyarmalar, uygun bir biçimde seçilmiş tekrenk-

li (monokromatik) üç, hatta iki ışıkla bile elde edilebilir. (Bu ışıklar ister kaynaklardan gelerek mat beyaz yüzeylerden yansın, ister özel renkli süzgeçler aracılığı ile elde edilsin, sonuç değişmez.)

Kılgışal alanda  $\lambda = 486$  nm ve  $\lambda = 586$  nm iki tekrenkli ışıkla,  $4800^{\circ}$  K sıcaklığındaki kara cismin yayındığı tayfi sürekli ve beyaza yakın ışık renginde bir ışık elde edilmesi, bunun gerçek bir örneği olarak gösterilebilir.

Bütün bundan şu sonuç çıkarılır :

**RENK KONUSUNDA GÖRSEL ALGIYA DAYANAN ÇALIŞMALAR  
BÜYÜK ORANDA YANLIŞ VE YANILTICI OLABİLİR. RENGİ  
(İŞIK YA DA ÖZDEK) KESİNLİKLE VE TAM OLARAK  
BELİRLEYEN, TAYF EĞRİSİ YA DA DALGA BOYU  
FONKSİYONUNDA YANSITMA (GEÇİRME) ÇARPANLARI  
EĞRİSİDİR.**



ŞEKİL 30

$x = 0,33$   $y = 0,33$  noktası kuramsal beyazı gösterir. Bu noktanın E harfiyle gösterildiği daha önce açıklanmıştır. E noktasını, renk üçgeninde herhangi bir N noktasıyla birleştiren doğrunun tayfsal renkler eğrisini kestiği P noktasının önemli bir özelliği vardır. (ŞEKİL 30).

N noktasıyla belirlenen renk, P noktasının gösterdiği tayfsal renkle kuramsal beyazın bir karışımıdır. Yani P ve N noktalarının belirledikleri renklerin TÜR’leri aynıdır. N noktasının PE doğru parçası üzerindeki yeri ise, bu rengin doymuşluğunu belirler. Tayfsal renkler eğrisi üzerinde bulunan P noktası, N renginin «baskın dalga boyu» nu belirler ve  $\lambda_d$  ile gösterilir. Böylece, CIE renk üçgenindeki bir renk noktası  $x$  ve  $y$  ile belirlenebildiği gibi,  $\lambda_d$  ve doymuşluk oranı ile de belirlenebilir.

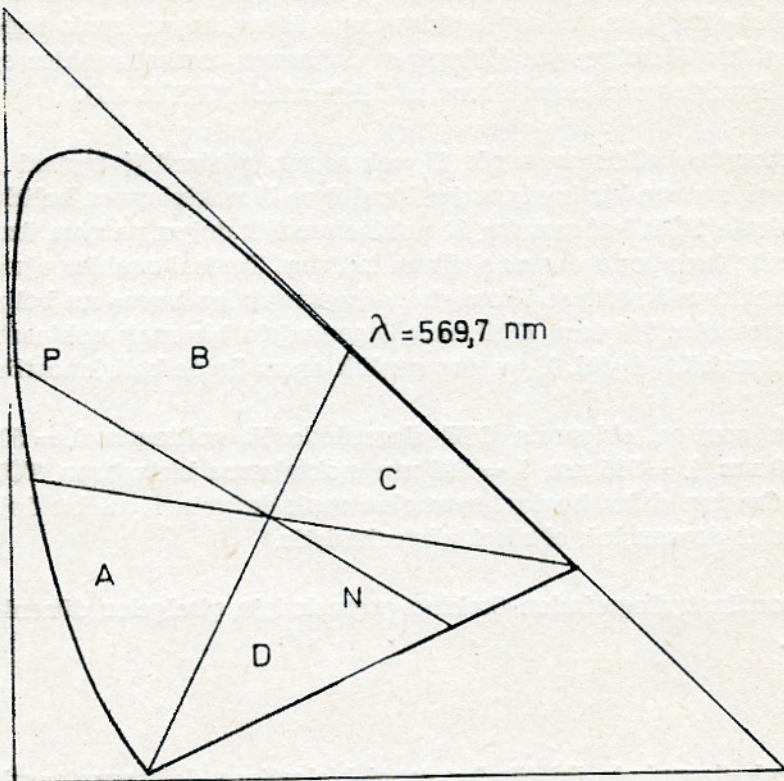
Kitabın sonuna eklenmiş CIE üçgeninde E noktasını  $\lambda = 505$  nm  $\lambda = 510$  nm  $\lambda = 515$  nm  $\lambda = 520$  nm noktalarına birleştiren, TÜR doğruları (baskın dalga boyları aynı olan renk doğruları) ve bu doğruları kesen eşit doymuşluk eğrileri gösterilmiştir.

Bir koordinat dizgesinden ötekine geçmek için çizelgeler düzenlenmiştir<sup>(15)</sup>.

CIE renk üçgeninde iki tümler rengi birleştiren doğrunun mutlaka E noktasından geçeceği yukarıdaki açıklamalardan anlaşılr. E noktası ile,  $\lambda = 380$  nm ( $x = 0,174$   $y = 0,005$ ) ve  $\lambda = 760$  nm ( $x = 0,735$   $y = 0,263$ ) noktalarını birleştiren doğrular CIE renk üçgenini 4 bölgeye ayırır. (ŞEKİL 31).

A bölgesindeki renklerin tümlerleri C bölgesinde (ve tersi) B bölgesindeki renklerin tümlerleri de D bölgesinde (ve tersi) dir. Birbirlerinin tümleri olabilecek tayfsal renkler A ve C bölgelerinin sınırlarında (tayfsal renkler eğrisi üstünde) sıralanmışlardır. B bölgesi sınırladığı tayfsal renklerin, yani dalga boyu  $\lambda = 493,9$  nm ile  $\lambda = 569,7$  nm arasındaki tayfsal renklerin, tekrenkli tümlerleri yoktur. Bu nedenle D bölgesindeki bir rengin baskın dalga boyu, tümlerinin baskın dalga boyu gibi, ama eksi işaretle gösterilir. Örneğin ŞEKİL 31 de N noktasının baskın dalga boyu  $\lambda_d = -P$  gibi gösterilir. Birbirinin tümleri olan tekrenkli ışıkların dalga boyları ÇİZELGE III te verilmiştir.

<sup>(15)</sup> Bu çizelgeler çok ayrıntılı ve uzun olduğundan bu kısa özette yer almazı.



ŞEKİL 31

### KARA CISMIN EĞRİSİ

Doğrultuları ve dalga boyları ne olursa olsun, üzerine düşen bütün ışınları yutan cisim kara cisim dendiği bilinir. Demek ki ışıl — ışır bir kara cismin yayıldığı ışık yalnızca kara cismin ısısıyla ilgilidir. Böylece kara cismin yayıldığı ışığın rengi, sıcaklığının bir fonksiyonu olarak ortaya çıkar.

Kara cismin çeşitli sıcaklıklarda yayıldığı ışığın renginin CIE üçgen-sel dizgesine göre  $x$  ve  $y$  değerleri ve baskın dalga boyları ölçülmüştür. Bu değerler ÇİZELGE IV te verilmiştir. Bu değerlerden yararlanarak çizilen eğri (kitabın sonundaki eke bakınız) kara cismin sıcaklığı ile rengi arasındaki ilgiyi göstermektedir.

### ÇİZELGE III

#### ÖLÇÜNEYE GÖRE TÜMLER RENKLERİN DALGA BOYLARI

| $\lambda$ | $\lambda'$ | $\lambda$ | $\lambda'$ |
|-----------|------------|-----------|------------|
| 380       | 569,7      | 570       | 427,4      |
| 400       | 569,7      | 571       | 447,6      |
| 410       | 569,8      | 572       | 457,1      |
| 420       | 569,8      | 573       | 463,5      |
| 430       | 570,1      | 574       | 467,8      |
| 440       | 570,5      | 575       | 470,8      |
| 450       | 571,2      | 576       | 473,3      |
| 455       | 571,7      | 577       | 475,2      |
| 460       | 572,4      | 578       | 476,9      |
| 465       | 573,3      | 579       | 478,3      |
| 470       | 574,7      | 580       | 479,6      |
| 471       | 575,1      | 581       | 480,6      |
| 472       | 575,5      | 582       | 481,6      |
| 473       | 575,9      | 583       | 482,5      |
| 474       | 576,4      | 584       | 483,3      |
| 475       | 576,9      | 585       | 484,0      |
| 476       | 577,4      | 586       | 484,6      |
| 477       | 578,1      | 587       | 485,2      |
| 478       | 578,8      | 588       | 485,8      |
| 479       | 579,5      | 589       | 486,3      |
| 480       | 580,4      | 590       | 486,8      |
| 481       | 581,4      | 591       | 487,2      |
| 482       | 582,5      | 592       | 487,6      |
| 483       | 583,7      | 593       | 488,0      |
| 484       | 585,0      | 594       | 488,3      |
| 485       | 586,6      | 595       | 488,7      |
| 486       | 588,4      | 596       | 489,0      |
| 487       | 590,6      | 597       | 489,2      |
| 488       | 593,0      | 598       | 489,5      |
| 489       | 596,1      | 599       | 489,7      |
| 490       | 600,0      | 600       | 490,0      |
| 491       | 605,1      | 610       | 491,7      |
| 492       | 612,8      | 620       | 492,6      |
| 493       | 627,3      | 630       | 493,1      |
|           |            | 640       | 493,5      |
|           |            | 650       | 493,6      |
|           |            | 660       | 493,8      |
|           |            | 680       | 493,8      |
|           |            | 700       | 493,9      |
|           |            | 760       | 493,9      |

(P. J. Bouma'dan)

## ÇİZELGE IV

## RENK SICAKLIĞI — DALGA BOYU İLGİSİ

ve

## KARA CISMIN T FONKSİYONUNDAYA ÜÇRENKSEL KOORDİNATLARI

| T        | x      | y      | z     | $\lambda_d$ |
|----------|--------|--------|-------|-------------|
| 1500     | 0,586  | 0,393  | 0,021 | 594,8       |
| 1600     | 0,573  | 0,400  | 0,027 | 593,1       |
| 1800     | 0,549  | 0,408  | 0,043 | 590,7       |
| 2000     | 0,526  | 0,413  | 0,061 | 588,7       |
| 2100     | 0,515  | 0,415  | 0,070 | 587,8       |
| 2200     | 0,505  | 0,415  | 0,080 | 587,1       |
| 2300     | 0,495  | 0,415  | 0,090 | 586,4       |
| 2400     | 0,486  | 0,414  | 0,100 | 585,9       |
| 2500     | 0,476  | 0,414  | 0,110 | 585,3       |
| 2600     | 0,468  | 0,412  | 0,120 | 584,8       |
| 2700     | 0,459  | 0,411  | 0,130 | 584,3       |
| 2800     | 0,451  | 0,408  | 0,140 | 583,8       |
| 2900     | 0,444  | 0,406  | 0,150 | 583,3       |
| 3000     | 0,436  | 0,404  | 0,160 | 582,9       |
| 3100     | 0,428  | 0,401  | 0,170 | 582,4       |
| 3200     | 0,423  | 0,399  | 0,178 | 582,1       |
| 3300     | 0,417  | 0,396  | 0,187 | 581,6       |
| 3400     | 0,411  | 0,393  | 0,196 | 581,3       |
| 3500     | 0,405  | 0,390  | 0,205 | 580,9       |
| 4000     | 0,380  | 0,377  | 0,243 | 578,9       |
| 4500     | 0,360  | 0,364  | 0,276 | 576,8       |
| 4800     | 0,351  | 0,356  | 0,293 | 574,8       |
| 5000     | 0,345  | 0,351  | 0,304 | 573,2       |
| 5500     | 0,332  | 0,341  | 0,327 |             |
| 6000     | 0,322  | 0,331  | 0,347 |             |
| 6500     | 0,313  | 0,323  | 0,363 | 485,2       |
| 7000     | 0,306  | 0,316  | 0,379 | 483,7       |
| 8000     | 0,295  | 0,305  | 0,400 | 481,0       |
| 10000    | 0,280  | 0,288  | 0,431 | 479,1       |
| 24000    | 0,253  | 0,253  | 0,493 | 477,0       |
| $\infty$ | 0,238  | 0,233  | 0,529 | 475,8       |
| 2848     | 0,4475 | 0,4075 | 0,145 | 583,6       |

(P. J. Bouma'dan alınmıştır.)

Herhangi bir ışık kaynağının yayınladığı ışığın rengi çoğu zaman aynı renksellikteki kara cismin salt sıcaklığı ile anlatılır. Buna «renk sıcaklığı» denir. Bazı ışık kaynaklarının ışıklarının renk sıcaklıkları ÇİZELGE V te verilmiştir.

## ÇİZELGE V

| Işık cinsi                | Renk sıcaklığı $T_c$ |
|---------------------------|----------------------|
| Mum ışığı                 | 1900 — 1950          |
| Gaz lambası ışığı         | 1930 — 2050          |
| Elektrik lambası ışığı    | 2700 — 2900          |
| Projeksiyon lambası ışığı | 3000 — 3200          |
| Kömürlü yay lambası ışığı | 3700 — 4000          |
| Flüorisel lamba ışıkları  |                      |
| sıcak renkli              | 2900                 |
| beyaz                     | 3900 — 4300          |
| gün ışığı                 | 6500 — 6750          |
| Ay ışığı                  | 4100                 |
| Güneş ışığı               | 5300 — 5800          |
| Kapalı hava ışığı         | 6300 — 7200          |
| Mavi gök ışığı            | 10000 — 20000        |

## ÖLÇÜN (STANDART) BEYAZ IŞIKLAR

CIE 1931 de üç ölçün beyaz ışık saptamıştır. Bunlara Ölçün A, Ölçün B ve Ölçün C adları verilmiştir. Bu ölçünler 1931 den beri yürürlüktedir.

Ölçün A renk sıcaklığı  $T_c = 2848$  olan özel bir akkor lambadır. Ölçün B, Ölçün A ışığının özel, renkli sıvı bir süzgeçten (filtreden) geçirilmesi sonucu elde edilen ve renk sıcaklığı, yakınlıkla,  $T_c = 4800$  olan ışaktır.

Ölçün C ise, aynı şekilde, Ölçün A dan elde edilen ve renk sıcaklığı yakinılıkla  $T_c = 6500$  olan ışiktır. Bu ışıkların renk noktaları sonda ekli CIE üçgeninde gösterilmiştir. Bu noktaların x ve y değerleri ÇİZELGE IV ten bulunabilir. Bu ışıklar bir çok gözlem ve ölçmelerde kullanılır.

Örneğin, Munsell atlasının incelenmesi Ölçün C ışığı altında yapılmalıdır. Tümler renkler de Ölçün A, Ölçün B, Ölçün C noktaları ya da E noktasına göre tümler biçiminde, değişik durumlar alabilir. Eğer hangi noktaya göre tümler olduğu belirtilmemişse, E noktasına göre tümlerdir.

CIE renk üçgeninin bazı temel özelliklerine ve buna bağlı bazı konulara yukarıda kısaca değinildi. Bu şekilde CIE üçrenksel dizgesi tanıtılmış oldu. CIE üçrenksel dizgesi ve bu dizgeye göre kurulan renk üçgeni, renkle ilgili pek çok sayıda konunun bilimsel bir biçimde incelenmesini ve inceleme sonuçlarının grafik olarak gösterilmelerini olanaklı kılar. Bu kısa özet içinde bütün bu ayrıntıların yer alması düşünülemez. Bununla birlikte, en önemlilerinin, ayrı fasiküllerle sonradan bu özete eklenmesi yararlı olabilir.